

等粘性曲線に対する接点群を求めるとき、だいたい Fig. 2 中の鎖線のようになる。この鎖線の左側(I)領域は、等塩基度線上で Al_2O_3 が増大すると等粘性曲線の低い方から高い方へ横切り、 Al_2O_3 が粘性を高める領域であることを示している。右側の(II)領域は逆に粘性を低める範囲である。

普通操業で塩基度 1.2 附近と仮定すると、Fig. 4 でも示したように Fig. 2 の(I)ー(II)境界線はだいたい Al_2O_3 25% の線と交叉する。普通操業では Al_2O_3 25% 以上になることはほとんどないので、全体の化学組成としては(I)領域に属し、したがつて粘性の立場からすると、 Al_2O_3 は一般に悪影響をもたらす。ことに Al_2O_3 10~15% の範囲で最も粘性の上昇率 (Al_2O_3 成分の変化に対する粘性) 変化率が高いのは注目に値する。

Al_2O_3 は脱硫率に対して悪影響がある³⁾といわれているが、これは Al_2O_3 成分の増大による CaO 活量の低下とともに、粘性の上昇にともなう脱硫反応速度の低下が原因になると考えられる。

4.2 融点と粘性の関係

Table 1 からも明らかのように、試料 A (酸性スラグ)の方が試料 B (塩基性スラグ)より低融点であるにかかわらず、粘性は約 8 倍に上昇している。これはスラグの粘性が、融点の近傍を除いて非常に "Structure-Sensitive" であることを示している。すなわち、酸性領域では SiO_2 の三次元網目構造により近い構造をとり、-Si-O-Si- 結合の断点が少ない。塩基性領域ではこの結合の間に Ca^{++} イオンがより多く侵入し、-O-Ca-O- 結合が -O-Si-O- 結合より弱いため切断点を作る。したがつて流動単位が小さくなり粘性は低下すると考えられる。このことから高炉スラグの物性を評価する場合、融点の低下は必ずしも粘性の低下を意味しないので、両者をあわせ考慮する必要がある。

4.3 NaCl 添加の影響

特殊な高炉操業において、とくにスラグ粘性を高める傾向にあるのは、高 TiO_2 操業、酸性操業、高 Al_2O_3 操業およびこれらの組合せが考えられる。

これらの諸操業にはいろいろの弊害もあるが、高粘性という点に限れば、その対策はアルカリ添加によつて解決できるかも知れない。

この実験ではアルカリ源として NaCl を試料 A, B, に各 2% 添加して、Fig. 3 に示した結果を得た。

いづれも粘性を低下させる傾向にあるが、酸性試料 A (塩基度 $\text{CaO}/\text{SiO}_2 = 0.43$) において粘性の低下が、より著しい。これは $\text{CaO}-\text{SiO}_2$ 二元系の粘性データからもわかるように、成分変化に対する粘性変化率が酸性領域においてより大きい、すなわち陽イオンの添加により SiO_2 の三次元網目構造の "damaging" が、酸性側において、より早く進行することを示している。

さらに Ca^{++} イオンよりも Na^+ イオンの方が "damaging effect" の大であることは、K. Endell et al. により次のように説明されている。すなわち、Fig. 5 のごとく、 Na^+ には Ca^{++} のような "橋渡し作用" がないので、網目により断点を作りやすいからである。

以上によつて、高粘性スラグを産する高炉操業では、

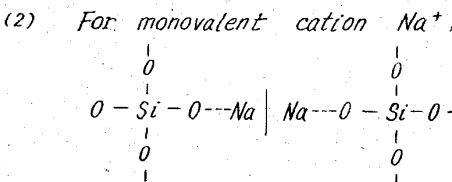
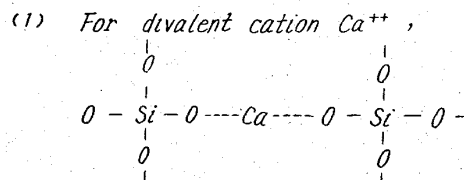


Fig. 5. Schematic illustrations of different effects of Ca^{++} and Na^+ .

羽口からの NaCl (あるいはそれに等価のアルカリ) 吹込みが有効であると推定される。

5. 結言

$\text{CaO}-\text{Al}_2\text{O}_3-\text{SiO}_2$ 三元系スラグの粘性におよぼす Al_2O_3 の影響および NaCl 添加の影響を調べた結果次の結論を得た。

- (1) 塩基度 1.22 附近では、 Al_2O_3 25% まで粘性が上昇し、それをこえるとやや減少の傾向が見える。
- (2) Al_2O_3 10~15% 附近で最も粘性の上昇率が高い。
- (3) 1650°C ではスラグ融点は粘性に影響しない。
- (4) NaCl はスラグ粘性の低下に十分効果がある。
- (5) NaCl の粘性低下の効果は塩基度が低い場合により大である。

文 献

- 1) After G. A. Rankin, revised by J. W. Greig
- 2) P. KOZAKEVITCH: The Physical Chemistry of Process Metallurgy Part 1 Inter. Pub. (1961) p. 57
- 3) 綿井他: 鉄と鋼 50 (1964) p. 1613
- 4) K. ENDELL und H. HELLEBRUGGE: Angew. Chem. 53 (1940) S. 271

(48) 高炉における脱硫の数式モデル

八幡製鉄所、戸畠製造所

本田 明・深川弥二郎
野口 信雄・○楯岡 正毅
〃 生産管理部 山本 孝
Mathematical Model for Desulphurization in Blast Furnace.

Akira HONDA, Yajirō HUKAGAWA,
Nobuo NOGUCHI, Masataka TATEOKA,
and Takashi YAMAMOTO.

1. 緒言

高炉における脱硫反応は最も重要な反応の一つとして

(17)式が求める数式モデルの一般式である。

3. 実際の計算

3.1 鉱滓中(S)の決定

鉱滓中(S)の値としては実際の分析値と装入硫黄量、鉱滓量および銑鉄中[S]から物質バランスによって求めた値とがある。いずれの値も精度の点で問題があり、一般に計算(S)の方が高い値を示す。しかしあくまで相関があり、推定式として用いることを考えここでは鉱滓中としては計算(S)を用いることとする。

3.2 最小自乗法の適用

3.2.1 統計的処理のための一般式の変形

(17)式の形のままでは統計的処理が困難であるので対数をとり(18)式を得る

$$\begin{aligned} \ln. \{(S)/[S]\} &= \ln. (\text{CaO}) + a_1[\text{Si}] + b_1[\text{C}] \\ &+ c[\text{Mn}] + \alpha[\text{SiO}_2] + \beta(\text{Al}_2\text{O}_3) + \gamma(\text{MgO}) \\ &+ \delta(\text{MnO}) + P(\text{Pr}) + Q(\text{Vs}) + R(\text{Ts}) + \ln. K_2 \\ &\dots \end{aligned} \quad (18)$$

(18)式は一次式であり、最小自乗法の適用が容易である。

3.2.2 処理するデータ

データは戸畠一、二高炉、東田三、四高炉、洞岡二、三、四高炉の各月平均データを1962年1月から1964年2月の間で合計151コを採取した。

3.3 計算結果

計算の結果(19)式が得られる。

$$\begin{aligned} (S)/[S] &= (\text{CaO})f \\ \ln. f &= 0.128[\text{Si}]^{**} + 0.065[\text{C}]^* \\ &+ 0.212[\text{Mn}]^* - 0.002(\text{SiO}_2) \\ &- 0.007(\text{Al}_2\text{O}_3) + 0.054(\text{MgO})^{**} \\ &- 0.191(\text{MnO})^* + 0.007(\text{Pr}) \\ &- 0.0018(\text{Vs})^{**} + 0.188(\text{Ts})^{**} \\ &- 0.667 \end{aligned} \quad (19)$$

ここで ** 1% 有意 *10% 有意

得られた数式モデルは寄与率 82.2% で高度に有意である、実際(S)/[S]と計算(S)/[S]の関係は Fig. 2 に示すごとく近似度は非常に良好である。この結果につ

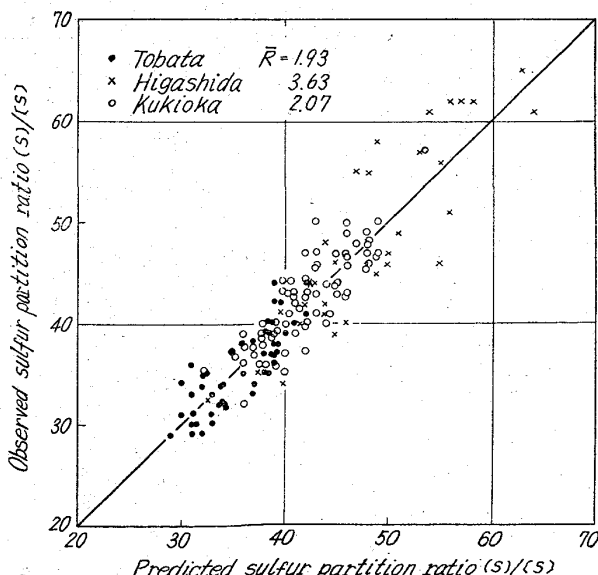


Fig. 2. Check of mathematical model.

いて考えると、

(1) [Si] と [C] は単相関が強く一般の高炉においてはどちらか一方を要因として考えるだけで十分である。

(2) 生産速度の影響は認められない。

(3) [Mn] の効果と (MnO) の効果は $(\text{MnO})/[\text{Mn}] = 1.1$ の点で消し合い、高炉における [Mn] による脱硫は考えなくてよい。

(4) $(\text{SiO}_2)(\text{Al}_2\text{O}_3)$ の効果は有意ではないが、これは $(\text{CaO}) + (\text{SiO}_2) + \text{Al}_2\text{O}_3 + (\text{MgO}) = 94 \sim 95$ の関係があり、 (CaO) と (MgO) へ効果が移行していると考られる。

3.4 第二段階の計算

生産速度、[C][Mn](MnO) を要因から除いて考えると(17)式は簡単にになって(20)式となる。

$$\begin{aligned} (S)/[S] &= K_2(\text{CaO})f \\ \ln. f &= a_1[\text{Si}] + \alpha(\text{SiO}_2) + \beta(\text{Al}_2\text{O}_3) \\ &+ \gamma(\text{MgO}) + Q(\text{Vs}) + R(\text{Ts}) \end{aligned} \quad (20)$$

(17)式と同じように処理して(21)式が得られる。

$$\begin{aligned} (S)/[S] &= (\text{CaO})f' \\ \ln. f' &= 0.181[\text{Si}]^{**} - 0.018(\text{SiO}_2) \\ &- 0.013(\text{Al}_2\text{O}_3) + 0.062(\text{MgO})^{**} \\ &- 0.0018(\text{Vs})^{**} + 0.195(\text{Ts})^{**} \\ &+ 0.104 \end{aligned} \quad (21)$$

(SiO_2) および (Al_2O_3) は 10% 強の危険率があるが、第一段階と比較して 10 倍程度の大きさとなつた。得られた数式モデルの寄与率は 79.2% で 4 コの要因を除いても 3% の低下に留り、除いた要因が適当であつたことがわかる。

4. 鉱滓量および装入硫黄量の効果についての検討

鉱滓量および装入硫黄量の効果については慎重に取扱う必要がある。なぜならば一般の高炉では銑鉄中[S]一定の操業を行なつてゐるため、結果的に装入硫黄量の増加した場合は分配率を上げねばならず、一方鉱滓量が増加した時には分配率が低くとも銑鉄中[S]のレベルは維持できるからである、そこで本当に両者の効果が存在するかどうかを確認するため次のとき手法を用いて解析することとした。

まず鉱滓量および装入硫黄量を要因から除いた(22)式について重回帰分析を行なう。

$$\begin{aligned} (S)/[S] &= (\text{CaO})f' \\ \ln. f' &= 0.382[\text{Si}]^{**} - 0.080(\text{SiO}_2)^{**} \\ &- 0.038(\text{Al}_2\text{O}_3)^{**} + 0.070(\text{MgO})^{**} \\ &+ 2.517 \end{aligned} \quad (22)$$

その結果(22)式の寄与率は 55.5% と低く、鉱滓量および装入硫黄量を要因から除けないことがほぼわかるが、次に(22)式の誤差の内容について鉱滓量および装入硫黄量による重回帰分析を試みる。対象となる式は(23)式で与えられる。

$$\begin{aligned} \ln. \{(S)/[S]\} &- \ln. (\text{CaO}) - 0.382[\text{Si}] \\ &- 0.080(\text{SiO}_2) - 0.038(\text{Al}_2\text{O}_3) + 0.070(\text{MgO}) \\ &= Q(\text{Vs}) + R(\text{Ts}) + \ln. K'_2 \end{aligned} \quad (23)$$

その結果は 35.5% の寄与率で高度に有意となつた。このことは鉱滓量および装入硫黄量の影響を無視できないことを確実に示すものである。(21)式(23)式の解析結果を総合すると(24)式が得られる。

$$(S)/[S] = (CaO)f' \quad (24)$$

$$\left. \begin{aligned} f' = & 0.382[Si]** - 0.080(SiO_2)** \\ & - 0.038(Al_2O_3)** + 0.070(MgO)** \\ & - 0.0012(Vs)** + 0.127(T_s)** \\ & + 2.394 \end{aligned} \right\} \dots (24)$$

(24)式の寄与率は $55.4 + 44.6 \times 0.35 = 71.0\%$ となる。

5. 結 言

(1) 高炉における脱硫反応について検討し、寄与率の高い数式モデルを得た。

(2) 脱硫反応に影響する要因としては [Si] (CaO) (SiO₂) (Al₂O₃) (MgO) 鉱滓量および装入硫黄量を考える必要がある。

(3) 生産速度の影響は認められなかつた。

(4) [Mn] (MnO) の影響は考える必要がない。

(5) 鉱滓量および装入硫黄量の影響については分散分析によつて確認した。

(49) シリカ源と還元温度について

(高炉におけるシリコンの還元について—I)

東京大学生産技術研究所

金 鉄 祐・上 田 一 清
工博○館 充

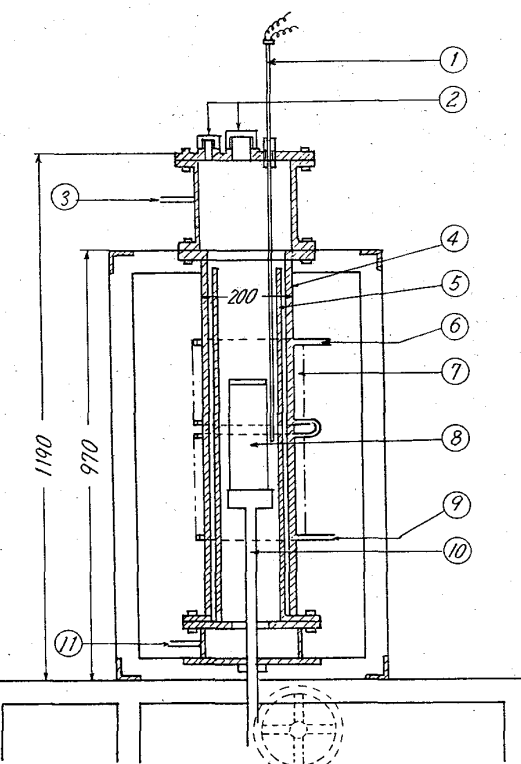
Some Considerations on Silica Source
and Reducing Temperature.

(On the reduction of silicon in blast furnace—I)

Cheaul Woo KIMM, Kazukiyo UEDA
and Dr. Mitsuru Tate.

1. 緒 言

高炉過程における銑鉄中の Si は、炉の熱的水準を表わす重要なパラメータであつて、通常の操業条件のもとでは、操業方法いかんによつて制御できる成分の一つである。われわれが試験高炉において還元性ガス⁸⁾と粉炭吹込試験^{2, 3)}を実施した際にも、吹込時の熱補償の条件として、羽口前の理論燃焼温度を一つの基準とし、銑鉄中の Si と S を一定の範囲内におさめるように設定した。しかしながら、粉炭吹込試験におけるわれわれの経験では、熱補償が不足しても [Si] が低下しない場合と、低下する場合とがあり、しかも [Si] が低下しても [S] が上昇しないという、従来の高炉過程の概念より著しく逸脱した現象が認められた。これらの現象に関しては炉の高温帯に吹込まれた H₂ がある一定の役割を果たしたことが知られたが、これと関連して、現在のように水素源を多量に含む燃料を吹込む高炉操業では、従来のように [Si] を炉熱と熱補償のパラメータとすることには、若干の疑義があると考えられた。他方において、稼働中⁴⁾あるいは吹止後^{5, 6)}の高炉の炉内試料の調査から、[Si] は羽口レベルまで下降する間に、ほぼ最終銑の組成に近づくことが確認されており、また、平衡実験の結果⁷⁾から、溶銑、溶滓間の [Si] の還元反応の進行は非常に緩慢であるため、現在の高炉操業の条件では容易に平衡値に達しないことが知られている。したがつて、高炉過程において [Si] の還元にもつとも大きく作用する領域は、炉の羽



① Pt-PtRh Thermo-couple ⑦ High-frequency coil
② The measurement hole ⑧ Carbon crucible
of temperature ⑨ Cooling water outlet
③ N₂ gas outlet ⑩ Lifting rod of graphite
④ Silica tube crucible
⑤ Alumina tube ⑪ N₂ gas inlet
⑥ Cooling water inlet

Fig. 1. Experimental apparatus.

口レベル以上の高温帯であると考えられる。そこでわれわれは、複合送風時の熱補償の問題と関連して、この高温帯において [Si] の還元に影響をおよぼす要因を、実験的に検討することにした。

本稿ではこれまでに意見が対立^{8, 9, 10)}していた、 [Si] のソース (Source) の問題と還元温度との関係を実験によつて検討したので報告する。

2. 実験装置および試料

2.1 実験装置

実験に使用した装置の概要を Fig. 1 に示した。この装置は、油拡散とロータリーポンプを排気系とする高周波真空溶解炉であるが、本実験では真空系統は使用しなかつた。温度は上蓋部より挿入した熱電対で測定され、黒鉛ルツボの酸化を防ぐため、下方のガス導入管より上方の排出管に N₂ を一定量流入排出させるようになつてゐる。

2.2 試 料

実験試料を選んだ基本的な考え方とは、高炉において [Si] が還元し始めるのは酸化鉄の還元がほとんど終つた後において起ると前提条件を設け、粒鉄と黒鉛、ならびに電解鉄とコークスを組合せて用いた。粒鉄はその製造過程からして鉱石の脈石からのスラグを含んでいることと、還元剤の黒鉛は灰分 0.005% 以下であつて、メタル中に Si が入つてくる懸念はないからである。さらに電解鉄とコークスを用いたのは、コークス中の灰分の